

## Optimasi Desain Penstock Intricate Countur dengan Kapasitas Hydro Power Plant 4 x 2 MW

Kisto<sup>1✉</sup>, Agus Hermanto<sup>2</sup>

<sup>1,2</sup> Program Magister Teknik Mesin, Institut Teknologi Nasional Bandung, Indonesia

### Informasi Artikel

#### Riwayat Artikel

Diserahkan : 24-03-2023

Direvisi : 27-03-2023

Diterima : 31-03-2023

### ABSTRAK

Kebutuhan daya listrik nasional sebesar 8,5% per Tahun. Untuk memenuhi kebutuhan listrik tersebut salah satunya dengan sumber energi terbarukan dari aliran air atau *hydro power plant*. Penstock merupakan bagian dari *hydro power plant* yang mempunyai peranan penting. Sehingga dibutuhkan desain penstock yang bisa menunjang kelancaran *hydro power* tersebut. Metode penelitian yang dilakukan adalah dengan simulasi di software caesar. Tujuan dari penelitian ini yaitu melakukan optimasi desain penstock. Hasil dari penelitian dengan diameter penstock 1,9 m, panjang 2000 m, tebal 12 mm, tekanan *inlet* penstock sebesar 53.880,99 Pa dan kecepatan air 10,40 m/s, tegangan maksimum yang dihasilkan sebesar 29.896.150 Pa masih di bawah *allowable stress* 160.670 kPa. Tetapi untuk *displacement* maksimum di segmen 13 area AB#12 sampai AB#13 node 349-350. Arah sumbu X sebesar -12,702 mm, arah sumbu Y sebesar 16,418 mm, arah sumbu Z sebesar 32,835 mm. Setelah dilakukan optimasi desain *displacement* yang terjadi dibawah 1 mm.

#### Kata Kunci:

Energi terbarukan, Hydro power, Penstock, Optimasi desain.

#### Keywords :

Renewable energy, Hydro power, Penstock, Design optimization.

### ABSTRACT

*National electricity demand is 8,5% per year. To meet demand for electricity is use renewable energy sources from running water or hydro power plants. Penstock is part of a hydro power plant which has an important. So need a penstock design that can support the smooth running of the hydro power. The research method used simulating caesar software. The purpose of this research is to optimize penstock design. The results of the study with a penstock diameter of 1,9 m, length 2000 m, thickness 12 mm, penstock inlet pressure of 53.880,99 Pa and water speeed of 10,40 m/s, resulting maximum stress of 29.896.150 Pa still below allowable stress of 160.670 kPa. But for maximum displacement in segment 13 area AB#12 to AB#13 nodes 349-350. The direction X-axis is -12,702 mm, the Y-axis is 16,418 mm, the Z-axis is 32,835 mm. After optimizing the displacement design that occurs below 1 mm.*

#### Corresponding Author :

Kisto

Program Studi Magister Teknik Mesin, Institut Teknologi Nasional Bandung  
Jl.Phh. Mustopa No. 23 Neglasari Kec. Cibeunying Kaler, Kota Bandung, Jawa Barat 40124  
Email: [elsiraj2018@gmail.com](mailto:elsiraj2018@gmail.com)

## PENDAHULUAN

Kebutuhan energi listrik terus meningkat seiring dengan pertumbuhan ekonomi, pertambahan jumlah penduduk, dan pertumbuhan pembangunan. Berdasarkan data Perusahaan Listrik Negara terjadi peningkatan kebutuhan daya listrik nasional sebesar 8,5% per tahun (Ma'ali. 2017). Berdasarkan Peraturan Presiden Republik Indonesia Nomor 112 Tahun 2022 langkah



This is an open access article under the [CC BY](#) license

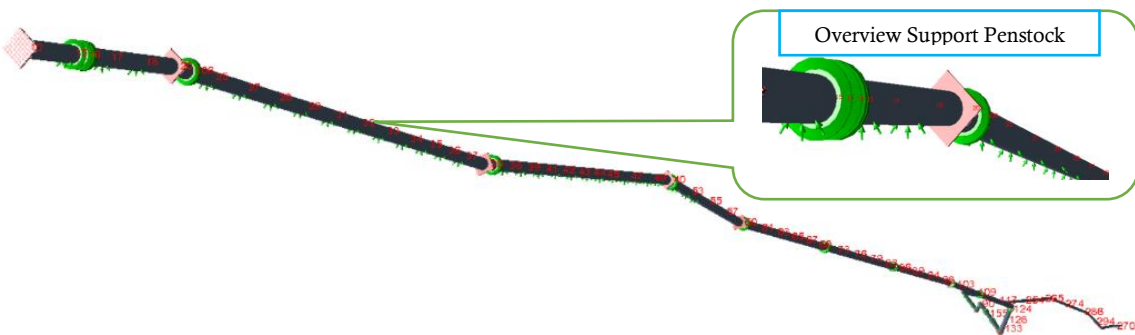


pemerintah dalam memenuhi kebutuhan energi listrik adalah dengan percepatan pengembangan energi terbarukan. Sumber energi terbarukan merupakan sumber energi yang dihasilkan panas bumi, angin, bioenergi, sinar matahari, aliran air serta gerakan dan perbedaan suhu lapisan laut. Untuk penyediaan tenaga listrik energi terbarukan dari sumber aliran air, Indonesia memiliki sumber daya alam yang sangat melimpah, salah satunya adalah aliran sungai yang dapat dimanfaatkan sebagai pembangkit tenaga listrik. Potensi energi *mini-micro hydro* di indonesia adalah sebesar 19.385 MW dan 30 MW (Widiana et al. 2020). Salah satu bagian dari *hydro power plant* yang mempunyai peranan cukup penting adalah penstock. Dimana penstock merupakan saluran penghubung antara bak penenang dengan turbin pada rumah pembangkit listrik. Upaya meminimalisir kehilangan energi pada penstock sangat penting untuk mengoptimalkan bangkitan energi listrik (Pratama et al. 2021). Penstock sebagian besar terbuat dari baja karbon yang dilas. Dalam beberapa aplikasi *head* rendah, pipa HDPE bisa digunakan. Penstock harus dioptimalkan sehubungan dengan *head loss* dan kebutuhan material (Thapa et al. 2016). Pengoperasian yang ekstensif pada penstock menghasilkan pengurangan ketebalannya apabila terus berlanjut ke ketebalan kritis dapat menyebabkan pecahnya penstock (Pathak et al. 2020). Sistem penstock dapat dioptimalkan untuk efisiensi dengan menggunakan elemen pipa dengan koefisien *losses* yang lebih rendah (Bondar et al. 2021). Pipa penstock dilengkapi dengan *manhole* yang dapat digunakan untuk keperluan pemeliharaan. Selain itu penstock dilengkapi dengan *expansion joint* dengan desain standar yang dapat bergeser secara mulus tanpa terjadi kebocoran dari permukaan penstock yang bergeser. *Expansion joint* harus dapat bergeser minimal sepanjang kurang lebih 100 mm. *Expansion joint* dilengkapi dengan *dismanteling joint* dengan tujuan agar *expansion joint* dapat dilepas dari pipa penstock bila diperlukan (Hidayawanti. 2017). Dari penelitian sebelumnya *water hammer* yang berlebihan yang disebabkan oleh pemutusan aliran yang cepat diketahui sebagai penyebab langsung dari ledakan penstock. Kekuatan *shell* penstock yang rendah karena kualitas sambungan las yang rendah dan kurangnya penguatan di tempat-tempat dengan konsentrasi tegangan yang besar juga berkontribusi terhadap kegagalan penstock (Anakiya et al. 2014).

Tujuan dari penelitian Optimasi Desain Penstock *Intricate Countur* dengan Kapasitas Hydro Power Plant 4 x 2 MW adalah untuk mengetahui gaya-gaya, tegangan dan *displacement* yg terjadi akibat dari *dead load*, *live load*, *wind load*, *water hammer* dan *seismic*. Sebagai asesemen bahwa penstock masih layak dioperasikan atau memerlukan *improvement*.

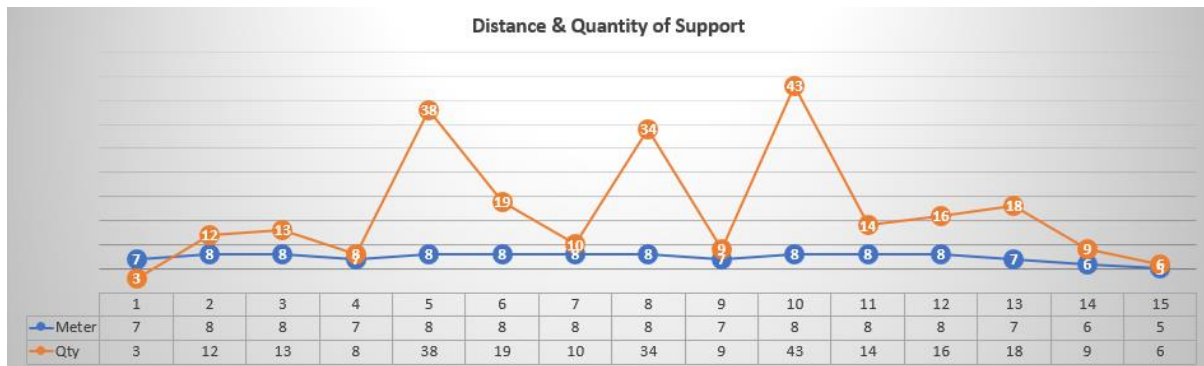
## METODE PENELITIAN

Metode penelitian yang digunakan adalah dengan melakukan simulasi dengan menggunakan software caesar. Perhitungan tegangan akan dilakukan pada seluruh panjang pipa penstock dari *intake* sampai *outlet*. Pemodelan pipa terdiri dari pendefinisian geometri, sifat material, kondisi beban, pemodelan *supports*, dan peralatan lainnya. Asumsi dan kondisi pemodelan pipa dilakukan sedemikian rupa sehingga sedekat mungkin dengan kondisi sebenarnya ketika penstock dioperasikan. Hasil keluaran dari perhitungan adalah tegangan, perpindahan, dan gaya tumpuan. Ketika hasil analisis memenuhi semua persyaratan desain serta mematuhi kode ASME B31.3, desain sistem pipa penstock dianggap dapat diterima. Bentuk *intricate countur* geometri dari penstock yang akan dianalisa adalah sebagai berikut:



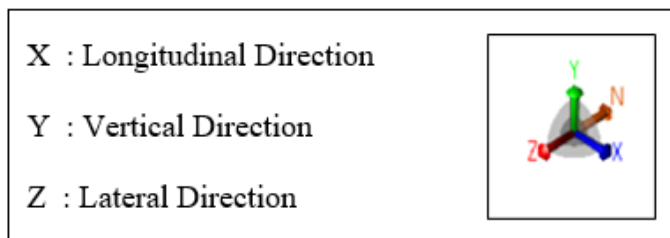
Gambar 1. Geometri *intricate countur* penstock

Pada Gambar 1 diatas menggambarkan bentuk *intricate countur penstock* dan *saddle support* eksisting yang akan di analisa. Bentuk *saddle support* eksisting dengan tiga gaya penahan, satu penahan vertikal dan dua penahan miring membentuk sudut  $30^\circ$ . Adapun jarak tiap *saddle support* bervariasi dari jarak per 5, 6, 7 dan 8 meter, seperti tersaji pada Gambar 2 dibawah ini.



Gambar 2. Jarak dan jumlah support per segmen pada penstock

Diameter pipa penstock yang akan di analisa sebesar 1,9 m, panjang total penstock dari *inlet* ke *outlet* 2000 m dengan tebal pipa penstock 12 mm. Type penstock yang akan di analisa pada penelitian ini adalah *type exposed penstock*. Material yang digunakan adalah A53 Grade B dengan kekuatan luluh spesifik minimum (SMYS) 241 MPa, kekuatan tarik spesifik minimum (SMTS) 432 MPa. Pemodelan analisis tegangan pipa penstock dimodelkan berdasarkan koordinat global seperti pada Gambar 3 dibawah ini.



Gambar 3. Sistem koordinat global yang digunakan pada Software Caesar

Analisa tegangan pada pipa penstock dilakukan berdasarkan kode ASME B31.3, kasus pembebahan terdiri dari :

a. *Sustained Load*

*Sustained Load* adalah beban yang bekerja pada pipa secara terus menerus selama beroperasi yang berasal dari tekanan fluida, berat dari pipa, komponen pipa dan fluida dalam pipa.

$$L = L_0 \left( 0.25 + \frac{4.57}{\sqrt{K_{LL} A_T}} \right) \quad (1)$$

Dimana:

- L = Desain live load dalam  $\text{m}^2$  dikurangi area yang didukung oleh anggota struktur
- $L_0$  = Desain live load dalam  $\text{m}^2$  tanpa dikurangi area yang didukung oleh anggota struktur.
- $K_{LL}$  = Faktor elemen live load. Untuk kolom interior  $K_{LL} = 4$
- $A_T$  = Area tributary dalam  $\text{m}^2$

b. *Occasional Load*

*Occasional Load* adalah beban yang sewaktu-waktu terjadi selama pipa beroperasi seperti *wind load*, pelepasan *relief valve*, dan *seismic load*.

c. *Expansion Load*

*Expansion Load* adalah beban yang bekerja pada pipa karena adanya deformasi pada pipa yang disebabkan oleh beban ekspansi seperti perbedaan temperatur.

Untuk lokasi penelitian di daerah X dengan koordinat 7.47554 Lintang Selatan, dan 107.61245 Bujur Timur. Nilai PGAm yang diperoleh adalah 0.5611 g. Sehingga nilai percepatan *seismic*  $U_x = 0.5611$  g arah sumbu X,  $U_z = 0.5611$  g arah sumbu Z. Temperatur operasi di lokasi kajian sebesar 28 °C. Kecepatan angin di lokasi kajian paling tinggi terjadi pada bulan agustus sebesar 11,5 km/jam atau 3,19 m/s. Desain pembebahan angin dapat diperlakukan sebagai pendekatan statis atau dinamis.

$$q_z = 0.613 K_z K_{zt} K_{dV2} (N/m^2) \quad (2)$$

Dimana :

Koefisien = 0,613

Koefisien eksposur tekanan kecepatan ( $K_z$ ) = 1,09

Faktor topografi, untuk tanah datar ( $K_{zt}$ ) = 1

Faktor arah angin ( $K_d$ ) = 1

Kecepatan angin dasar ( $v$ ) = 1

Pembebahan angin ( $q_z$ )

Analisa *water hammer* dilakukan untuk mengetahui tekanan maksimum dan minimum sepanjang penstock. Tekanan maksimum dan minimum tersebut harus berada dalam batas toleransi tertentu. Dimana kenaikan tekanan harus kurang dari 25% dan tekanan minimum harus lebih besar dari tekanan atmosfer. Pada analisa *water hammer* disimulasikan saat *wicket gate* di tutup dengan *closing time* 6 s dan 12 s. Untuk kecepatan tekanan gelombang:

$$a_c = \sqrt{\frac{k}{\rho_w (1 + \frac{D_p k c_1}{e E})}} \quad (3)$$

Dimana :

*Velocity of pressure wave* ( $a_c$ ), m/s

*Bulk modulus of the water*, (k), Pa

*Water's density* ( $\rho_w$ ), kg/m<sup>3</sup>

*Pipe inner diameter* ( $D_p$ ), m

*Constant function of the boundary conditions of pipe* ( $c_1$ ) = 0,85

*Practical pipe thickness* ( $e$ ), m

*Young modulus* ( $E$ ), Gpa

Sehingga *transient pressure induced by rapid gate closure* adalah

$$\Delta H = \rho_w \cdot a_c \cdot \Delta V \quad (4)$$

Dimana :

*Variation velocity of water* ( $\Delta V$ ), m/s

*Variation pressure of water hammer* ( $\Delta H$ ), Pa

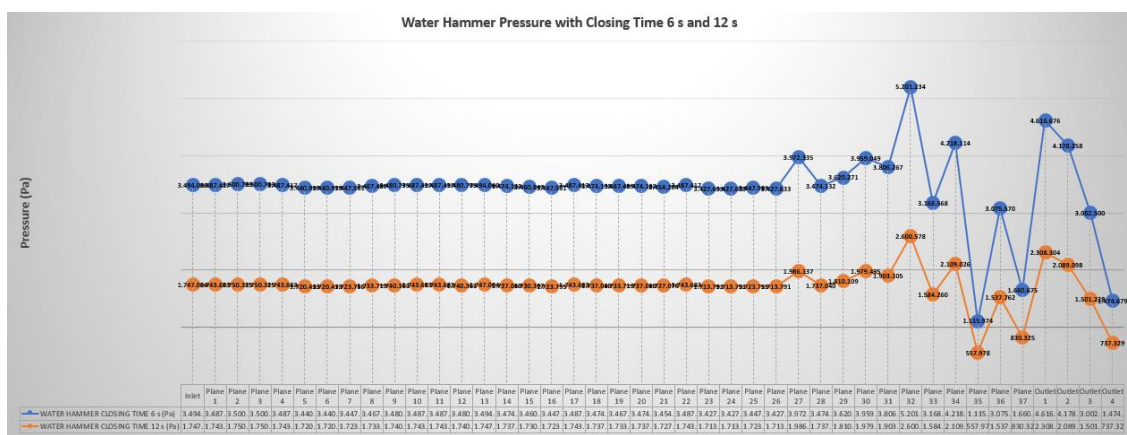
## HASIL DAN PEMBAHASAN

Parameter input untuk simulasi di caesar adalah sebagai berikut:

**Tabel 1. Parameter input software Caesar**

Parameter	Nilai	Satuan
Tekanan Inlet	53.880,99	Pa
Tekanan Outlet	1.403.569,36	Pa
Debit	29,47	m <sup>3</sup> /s
Diameter Penstock	1,9	m
Corrosion Factor	0,7950	mm
Fluid Density	998,2	kg/m <sup>3</sup>
Temperature Minimal	17	°C
Temperature Maksimal	28	°C

Dengan parameter input pada Tabel 1 diatas dan *allowable stress* untuk material pipa penstock sebesar 160,67 MPa (241/1,5 MPa). Ketika *wicket gate* ditutup dengan *closing time* 6 s dan 12 s terjadi fenomena fluktuasi tekanan (*water hammer*) yang diakibatkan oleh penutupan *wicket gate* tersebut. Simulasi *water hammer* yang terjadi sesuai dengan distribusi kenaikan tegangan per *plane* sepanjang pipa penstock dengan *closing time* 6 s dan 12 s dapat dilihat pada Gambar 4 dibawah.



**Gambar 4. Fenomena water hammer pada penstock**

Dari hasil simulasi *water hammer* pada Gambar 4 diatas terjadi fluktuasi tegangan yang cukup signifikan dari *wicket gate* sampai ke *plane* 27, tegangan maksimal di *plane* 32 sebesar 5.201.234 Pa ketika *closing time* 6 s dan terdistribusi merata dari *plane* 26 sampai ke *inlet* di bak penenang. Setelah fenomena *water hammer* di ketahui, langkah selanjutnya adalah melakukan simulasi *stress analysis* dengan *combination load* (*dead load*, *live load*, *water hammer*, *seismic and wind load*) pada software caesar. Hasil simulasi seperti terlihat pada Gambar 5 dibawah ini.



**Gambar 5. Hasil stress analysis pada penstock**

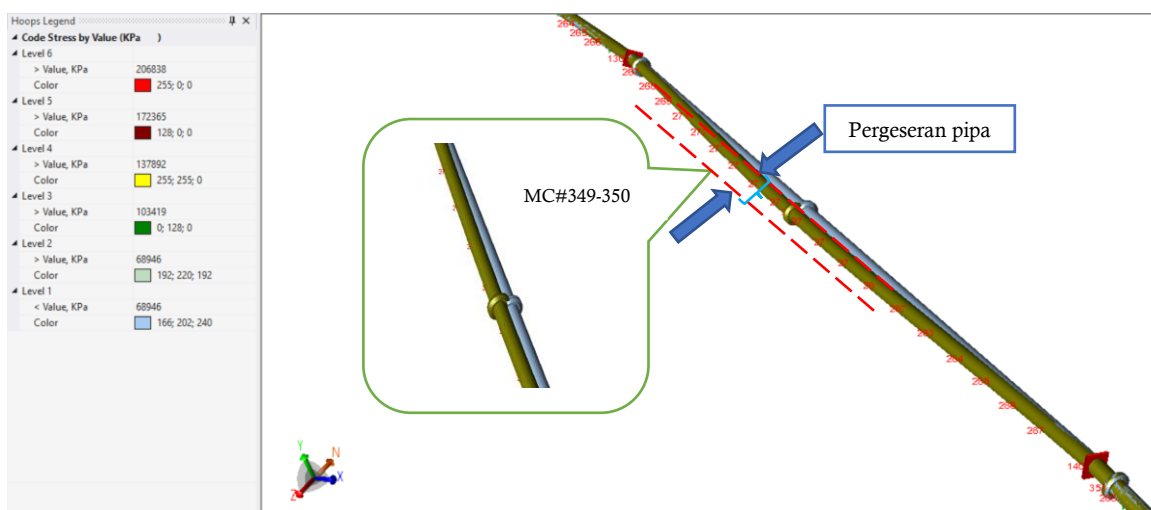
Berdasarkan skala warna pada hasil stress analysis diatas besarnya tegangan tiap segmen sepanjang pipa penstock tersaji pada Tabel 2 dibawah ini.

**Tabel 2. Hasil stress analysis pada penstock**

B31.3 STRESSES REPORT: Stresses on Elements CASE 7 (SUS) W+T1+P1+U3+WIN2				
Segmen	Code Stress (kPa)	Allowable Stress (kPa)	Percent (%)	Remarks
1	17548,80	160.670	10,92%	Inlet ke AB#1 Area Node 10
2	17166,70	160.670	10,68%	AB#1 ke AB#2 Area Node 30
3	16370,30	160.670	10,19%	AB#2 ke AB#3 Area Node 38
4	16948,10	160.670	10,55%	AB#3 ke AB#4 Area Node 50
5	16380,80	160.670	10,20%	AB#4 ke AB#5 Area Node 59
6	16595,40	160.670	10,33%	AB#5 ke AB#6 Area Node 70
7	16847,40	160.670	10,49%	AB#6 ke AB#7 Area Node 80
8	16563,80	160.670	10,31%	AB#7 ke AB#8 Area Node 80
9	16392,50	160.670	10,20%	AB#8 ke AB#9 Area Node 171
10	16625,00	160.670	10,35%	AB#9 ke AB#10 Area Node 110
11	16416,70	160.670	10,22%	AB#10 ke AB#11 Area Node 227
12	18471,20	160.670	11,50%	AB#11 ke AB#12 Area Node 130
13	29896,20	160.670	18,61%	AB#12 ke AB#13 Area Node 140
14	17117,90	160.670	10,65%	AB#13 ke AB#14 Area Node 150
15	17480,10	160.670	10,88%	AB#14 ke Bifurkasi Area Node 160
16	20855,8	160.670	12,98%	Bifurkasi Node 160 ke Radius Node 250 di area Node 210
17	16935,2	160.670	10,54%	Outlet 1 area Node 215
18	16890,9	160.670	10,51%	Outlet 2 area Node 235
19	16932,1	160.670	10,54%	Outlet 3 area Node 255
20	21999,7	160.670	13,69%	Outlet 4 area Node 256
<b>Note :</b>				
160.670 kPa = 160,67 Mpa				

Dari Tabel 2 diatas tegangan maksimal ada di node 140 pada segmen 13 antara AB#12 sampai AB#13, sebesar 29896,20 kPa atau 18,61% tegangan tersebut masih di bawah dari (*allowable stress*) 160.670 kPa. Tegangan maksimal di node 140 di akibatkan adanya *combination load* pada pipa penstock.

Untuk mengetahui fenomena *displacement* yang terjadi pada penstock, maka dilakukan analisa lebih lanjut terhadap seluruh fasilitas penstock dari *inlet* sampai *outlet*. Hasil dari simulasi *displacement* maksimum ada di node 349-350 seperti terlihat pada Gambar 6 di bawah ini.



**Gambar 6. Node 130 (AB#12) sampai node 140 (AB#13)**

Untuk besarnya nilai *displacement* tiap segmen di penstock berdasarkan pergeseran pipa (*Gap*) dari posisi awal sebelum dilakukan *sustained load* pada Gambar 6 diatas tersaji pada Tabel 3 di bawah ini.

**Tabel 3. Nilai displacement pada penstock**

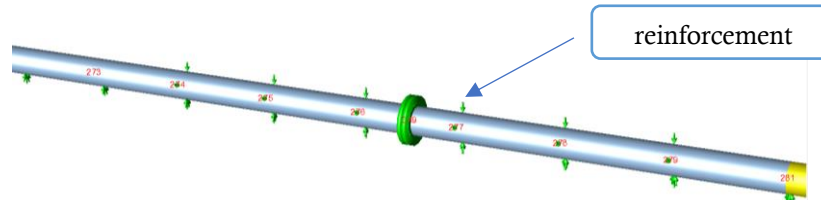
Segmen	dX (mm)	dY (mm)	dZ (mm)	Remarks
1	-0,006	0,131	0,197	Inlet ke AB#1
2	0,035	0,043	0,065	AB#1 ke AB#2
3	0,045	-0,024	0,008	AB#2 ke AB#3
4	0,044	-0,020	0,016	AB#3 ke AB#4
5	0,053	-0,026	0,019	AB#4 ke AB#5
6	0,053	-0,026	0,020	AB#5 ke AB#6
7	0,044	-0,027	0,014	AB#6 ke AB#7
8	0,055	-0,033	0,017	AB#7 ke AB#8
9	0,043	-0,027	0,015	AB#8 ke AB#9
10	0,046	-0,024	0,016	AB#9 ke AB#10
11	0,049	-0,026	0,022	AB#10 ke AB#11
12	0,049	-0,024	0,023	AB#11 ke AB#12
13	-12,702	16,418	32,835	AB#12 ke AB#13
14	0,074	-0,013	0,074	AB#13 ke AB#14
15	0,710	-0,048	-0,086	AB#14 ke Bifurkasi
16	0,004	0,000	0,042	Bifurkasi Node 160 ke Node 240
17	0,109	-0,024	0,167	Outlet 1 area Node 160 - Node 270
18	0,109	-0,025	0,167	Outlet 2 area Node 304 - Node 280
19	0,109	-0,024	0,167	Outlet 3 area Node 220 - Node 290
20	0,000	-0,226	-0,790	Outlet 4 area Node 250 - Node 260

Dari Tabel 3 di atas *displacement* maksimum ada di segmen 13 area AB#12 sampai AB#13. Arah sumbu X sebesar -12,702 mm, arah sumbu Y sebesar 16,418 mm, arah sumbu Z sebesar 32,835 mm. *Displacement* maksimum yang terjadi akibat adanya *combination load* (*dead load*, *live load*, *water hammer*, *seismic and wind load*) yang tidak mampu ditopang oleh *support penstock* di area tersebut. Sehingga di area tersebut perlu dilakukan optimasi desain. Adapun besarnya gaya di tiap *saddle support* (SS) di segmen 13 area AB#12 sampai AB#13 dapat dilihat pada Tabel 4 dibawah ini.

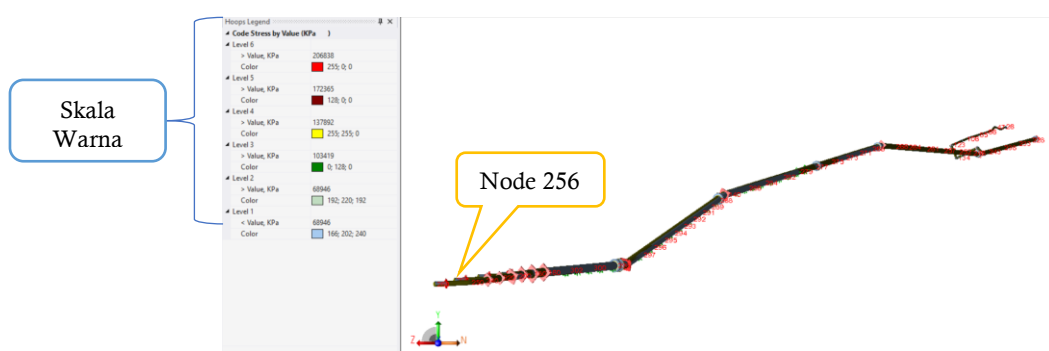
Tabel 4. Besanya gaya di AB#12-AB13

Area	Node	FX N.	FY N.	FZ N.	Resultant Force N.
ANCHOR BLOCK 12 (A12)	130	5784	106767	53031	119352
SS209	267	0	-41205	20602	46069
SS210	268	0	-37822	18911	42286
SS211	269	0	-38635	19318	43196
SS212	271	0	-38508	19254	43053
SS213	272	0	-38526	19263	43073
SS214	273	0	-38540	19270	43089
SS215	274	0	-38421	19211	42956
SS216	275	0	-39176	19588	43801
SS217	276	0	-37553	18777	41986
SS218	277	0	-40507	20254	45288
SS219	278	0	-37920	18960	42395
SS220	279	0	-38618	19309	43177
SS221	281	0	-38520	19260	43067
SS222	282	0	-38461	19231	43001
SS223	283	0	-38942	19471	43539
SS224	284	0	-37017	18508	41386
SS225	285	0	-23166	11583	25900
SS225a	286	0	-59366	29683	66374
SS225b	287	0	-2271	908	2445
ANCHOR BLOCK 13 (A13)	140	90907	125319	94090	181168

Berdasarkan hasil analisa tegangan dan analisa *displacement* diatas pada penstock segmen 13 masih sangat besar, sehingga di perlukan optimasi untuk mengurangi tegangan dan *displacement* yang terjadi. Berikut di bawah ini adalah gambar penstock dengan *reinforcement* untuk optimasi desain.

Gambar 7. Penstock dengan *reinforcement*

Pada Gambar 8 di bawah ini adalah *overview* hasil analisa tegangan setelah di lakukan optimasi dengan tambahan *reinforcement* di segmen 13 antara AB#12 - AB#13.

Gambar 8. Hasil simulasi tegangan *after reinforcement*

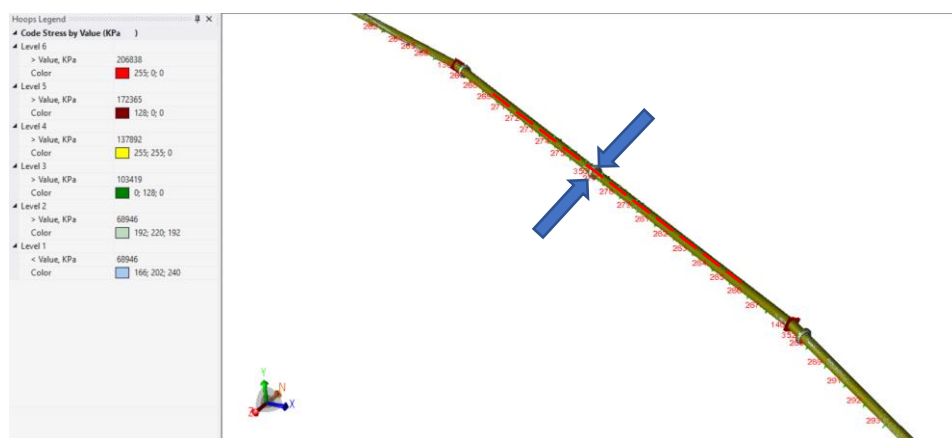
Untuk besarnya tegangan berdasarkan skala warna pada Gambar 8 diatas, setelah dilakukan optimasi desain dengan tambahan *reinforcement* dapat di lihat pada Tabel 5 di bawah ini.

**Tabel 5. Analisa tegangan after reinforcement**

B31.3 STRESSES REPORT: Stresses on Elements CASE 7 (SUS) W+T1+P1+U3+WIN2				
Segmen	Code Stress (kPa)	Allowable Stress (kPa)	Percent (%)	Remarks
1	17548,80	160.670	10,92%	Inlet ke AB#1 Area Node 10
2	17166,70	160.670	10,68%	AB#1 ke AB#2 Area Node 30
3	16370,30	160.670	10,19%	AB#2 ke AB#3 Area Node 38
4	16948,10	160.670	10,55%	AB#3 ke AB#4 Area Node 50
5	16380,80	160.670	10,20%	AB#4 ke AB#5 Area Node 59
6	16595,40	160.670	10,33%	AB#5 ke AB#6 Area Node 70
7	16847,40	160.670	10,49%	AB#6 ke AB#7 Area Node 80
8	16563,80	160.670	10,31%	AB#7 ke AB#8 Area Node 80
9	16392,50	160.670	10,20%	AB#8 ke AB#9 Area Node 171
10	16625,00	160.670	10,35%	AB#9 ke AB#10 Area Node 110
11	16416,70	160.670	10,22%	AB#10 ke AB#11 Area Node 227
12	18471,10	160.670	11,50%	AB#11 ke AB#12 Area Node 130
13	18469,70	160.670	11,50%	AB#12 ke AB#13 Area Node 140
14	17117,90	160.670	10,65%	AB#13 ke AB#14 Area Node 150
15	17480,10	160.670	10,88%	AB#14 ke Bifurkasi Area Node 160
16	20855,8	160.670	12,98%	Bifurkasi Node 160 ke Radius Node 250 di area Node 210
17	16935,2	160.670	10,54%	Outlet 1 area Node 215
18	16890,9	160.670	10,51%	Outlet 2 area Node 235
19	16932,1	160.670	10,54%	Outlet 3 area Node 255
20	21999,7	160.670	13,69%	Outlet 4 area Node 256

Note :  
160.670 kPa = 160,67 Mpa

Dari Tabel 5 diatas tegangan maksimal ada di node 256 di radius penstock outlet 4 pada segmen 20 sebesar 21.999,7 kPa atau 13,69%, tegangan tersebut masih di bawah dari (*allowable stress*) 160.670 kPa. Tegangan maksimal di node 256 diakibatkan oleh tegangan terdistribusi dari tegangan keseluruhan pada penstock, yang semula ada di node 140 tetapi karena sudah di optimasi di area tersebut sehingga tegangan berpindah ke node 256. Untuk *displacement* yang terjadi setelah dilakukan optimasi dapat terlihat pada Gambar 9 di bawah ini. Bentuk *displacement* di segmen 13 antara AB#12 sampai AB#13, pergeseran pipanya (*Gap*) lebih kecil jika dibandingkan dengan sebelum dilakukan *reinforcement* pada Gambar 6 yang *Gap*-nya cukup besar.



**Gambar 9. Bentuk displacement segmen 13 setelah reinforcement**

Sedangkan untuk besarnya nilai *displacement* tiap segmen setelah optimasi desain tersaji pada Tabel 6 di bawah ini.

**Tabel 6. Analisa tegangan after reinforcement**

Segmen	dX (mm)	dY (mm)	dZ (mm)	Remarks
1	-0,060	0,088	0,167	Inlet ke AB#1
2	0,035	0,043	0,065	AB#1 ke AB#2
3	0,045	-0,024	0,020	AB#2 ke AB#3
4	0,044	-0,020	0,016	AB#3 ke AB#4
5	0,053	-0,026	0,019	AB#4 ke AB#5
6	0,053	-0,026	0,020	AB#5 ke AB#6
7	0,044	-0,027	0,014	AB#6 ke AB#7
8	0,055	-0,033	0,016	AB#7 ke AB#8
9	0,043	-0,027	0,015	AB#8 ke AB#9
10	0,046	-0,024	0,012	AB#9 ke AB#10
11	0,049	-0,026	0,022	AB#10 ke AB#11
12	0,049	-0,024	0,023	AB#11 ke AB#12
13	-0,385	0,499	0,998	AB#12 ke AB#13
14	0,074	-0,013	0,074	AB#13 ke AB#14
15	0,047	-0,016	-0,048	AB#14 ke Bifurkasi
16	0,130	-0,048	-0,086	Bifurkasi Node 160 ke Node 240
17	0,109	-0,024	0,167	Outlet 1 area Node 160 - Node 270
18	0,109	-0,025	0,167	Outlet 2 area Node 304 - Node 280
19	0,109	-0,024	0,167	Outlet 3 area Node 220 - Node 290
20	0,710	-0,226	-0,790	Outlet 4 area Node 250 - Node 260

Dari Tabel 6 diatas nilai *displacement* maksimum ada di segmen 13 (area AB#12 sampai AB#13) yang dipengaruhi oleh bentang segmen penstock yang cukup panjang dari AB#12 ke AB#13 dan segmen 20 (outlet 4 area node 250 – node 260) dipengaruhi oleh posisi terujung dari penstock sehingga ada beban terpusat di area tersebut dan adanya penyempitan penampang pipa dan adanya belokan, sehingga ketika ada tegangan di belokan tersebut ada ekspansi untuk mengakomodir tegangan yang terjadi. Tetapi nilai *displacement* di kedua area tersebut masih di bawah 1 mm.

## KESIMPULAN

Dengan tekanan inlet penstock sebesar 53.880,99 Pa dan kecepatan air 10,40 m/s. Setelah di kaji lebih lanjut terhadap keseluruhan tegangan yang terjadi pada penstock dari *inlet* sampai *outlet* dengan *sustained load* (*dead load*, *live load*, *water hammer*, *seismic and wind*) tegangan maksimum ada di Node 140 (AB#13) sebesar 29.896,15 kPa (29.896.150 Pa) atau 18,61% di bawah dari (*allowable stress*) 160.670 kPa. *Displacement* maksimum ada di segmen 13 area AB#12 sampai AB#13 node 349-350. Arah sumbu X sebesar -12,702 mm, arah sumbu Y sebesar 16,418 mm, arah sumbu Z sebesar 32,835 mm. Setelah dilakukan optimasi desain displacement yang terjadi dibawah 1 mm. Faktor yang mempengaruhi tegangan dan *displacement* yang terjadi pada penstock adalah bentuk pembebanan yang terjadi, bentang segmen pipa dan support, serta bentuk profil dari penampang penstocknya.

## Daftar Pustaka

Anakiya, A., Prajapati, H., & Prajapati, S. (2014). Analysis of the Penstock for Pit Turbine Using Computational Fluid Dynamics. *IOSR Journal of Mechanical and Civil Engineering (IOSR-JMCE)*, 11(3), 36-42.

Bernard, D. 2013. Numeric modelling of water hammer effect in penstock. *Masters thesis, Department of Civil Engineering, Faculty of Engineering, University of Ottawa*. Diakses dari <https://citeseerx.ist.psu.edu/viewdoc/download?doi=10.1.1.962.5724&rep=rep1&type=pdf>

- Bondar, P.L., & Myrsten, F. 2021. *Efficiency analysis of a wave energy converter penstock*. Diakses dari <https://kth.diva-portal.org/smash/get/diva2:1620442/FULLTEXT01.pdf>
- Hidayawanti, R. (2017). Efisiensi Penggantian Pipa Penstock PLTA Siman dengan Metode Welded Lap Joint. *Jurnal Forum Mekanika*, 6(1), 33-40.
- Ma'ali, N. 2017. Perencanaan Pembangkit Listrik Tenaga Mikro Hidro (PLTMH) Kepung Kabupaten Kediri. Surabaya: Institut Teknologi Sepuluh Nopember.
- Pathak, S., & Darlami, K. 2016. Flow and stress analysis of aged penstock of sundarijal hydropower plant (SJHPP). Proceedings of 8<sup>th</sup> IOE Graduate Conference, pp. 2350-8914. Diakses dari <http://conference.ioe.edu.np/ioegc8/papers/ioegc-8-013-80016.pdf>
- Peraturan Presiden Republik Indonesia. 2022. Percepatan pengembangan energi terbarukan untuk penyediaan tenaga listrik. Jakarta: Kementerian Sekretariat Negara Republik Indonesia.
- Pratama, A.D., Hidayah, E., & Wiyono, R.U.A. 2021. Penentuan Desain Optimum Penstock untuk Pembangkit Listrik Tenaga Mikrohidro di Sungai Poreng, Jember. *Jurnal Teknik Pengairan*, 12(1), 71 - 80.
- Thapa, D., Luintel, M.C., & Bajracharya, T.R. 2016. Flow analysis and structural design of penstock bifurcation of kulekhani III HEP. Proceedings of IOE Graduate Conference, pp. 271-276. Diakses dari <https://www.researchgate.net/publication/333448770>
- Singhal, M.K., & Kumar, A. (2015). Optimum Design of Penstock for Hydro Projects. *International Journal of Energy and Power Engineering*, 4(4), 216-226.
- Widiana, I.N., Giriantari, I.A.D., & Setiawan, I.N. 2020. Perancangan Penstock (Pipa Pesat) untuk Pembangkit Listrik Tenaga Mikrohidro (PLTMH) di Banjar Dinas Mekarsari, Desa Panji, Kecamatan Sukasada, Kabupaten Buleleng. *Majalah Ilmiah Teknologi Elektro*, 19(2), 235 - 240.